

Bi8920 Fluorescenční mikroskopie

Fluorescenční mikroskop

RNDr. Jakub Neradil, Ph.D.
Ústav experimentální biologie PřF MU



Program přednášky:

- konstrukce a princip fluorescenčního mikroskopu
- objektivy
- zdroje světla
- filtry

Otto Heimstaedt a Heinrich Lehmann (1911-1913)

- sestrojili první fluorescenční mikroskop s UV excitací
- autofluorescence bakterií, protozoí, rostlinných a živočišných buněk
- organické makromolekuly - albumin, elastin, keratin

Stanislav von Prowazek (1914)

- pozorování ve fluorescenčním mikroskopu vazbu fluoroforů na živé buňky
- odhalení původce tyfu – *Rickettsia prowazekii*

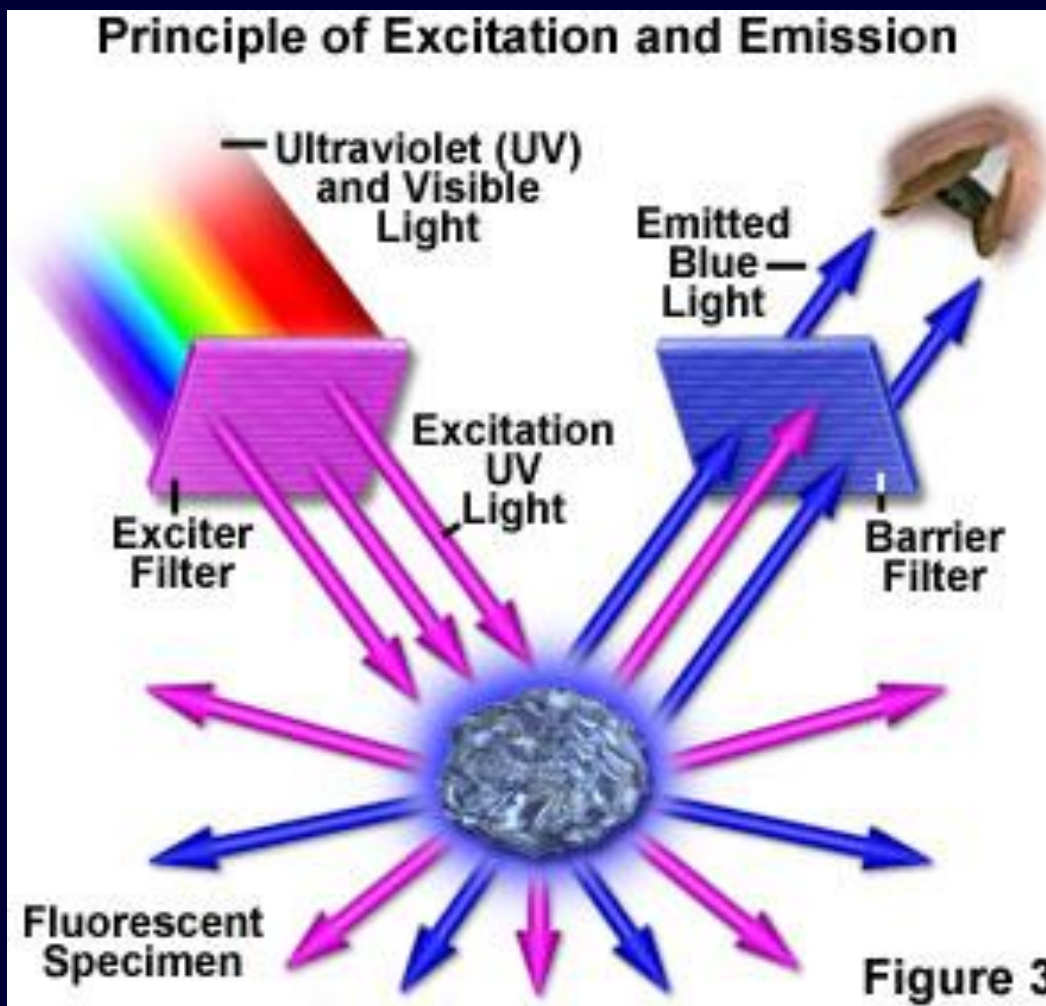


Fluorescenční mikroskop

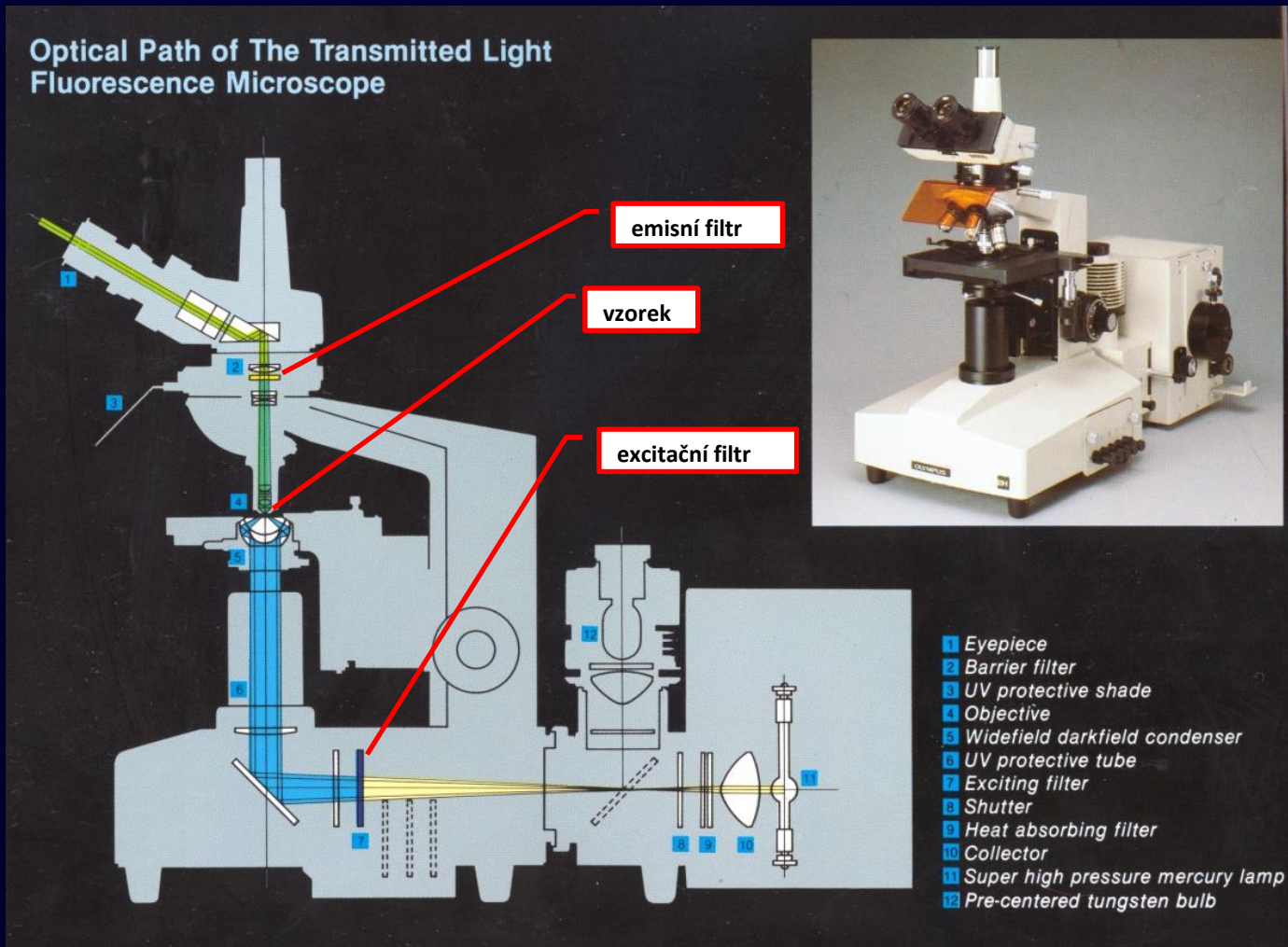
- je mikroskopem světelným
- lze pozorovat i v procházejícím „bílém“ světle



Základní princip fluorescenční mikroskopie

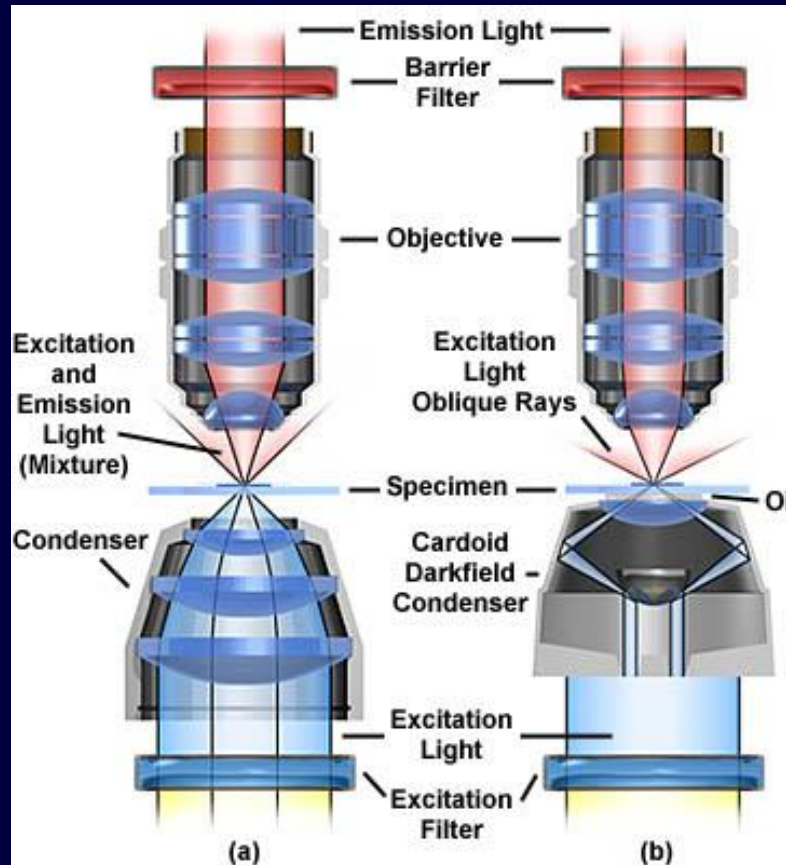


Transmisionní fluorescenční mikroskop (Transmission light fluorescence microscope)



Transmisní fluorescenční mikroskop

- výhodnější použití kondenzoru pro temné pole
- excitační světlo nemíří do objektivu
- oddělené filtry

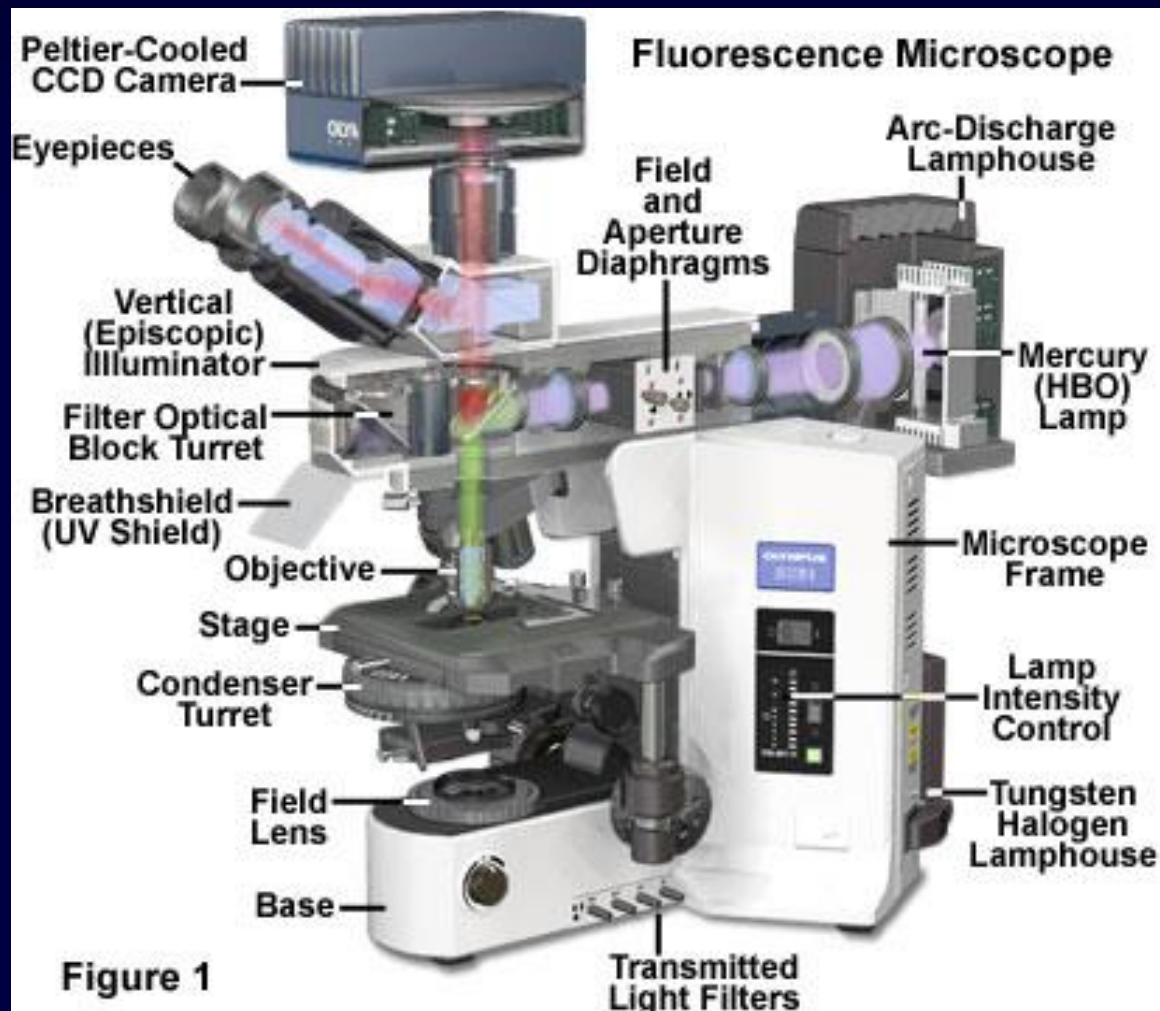


Epifluorescenční mikroskop (Reflected light fluorescence microscope)

- kostra
- zdroj bílého světla
- kondenzor
- stolek
- objektivy
- tubus
- okuláry
- ovládací prvky:
- makro+mikrošroub
- ovládání světla
- filtry, clony...

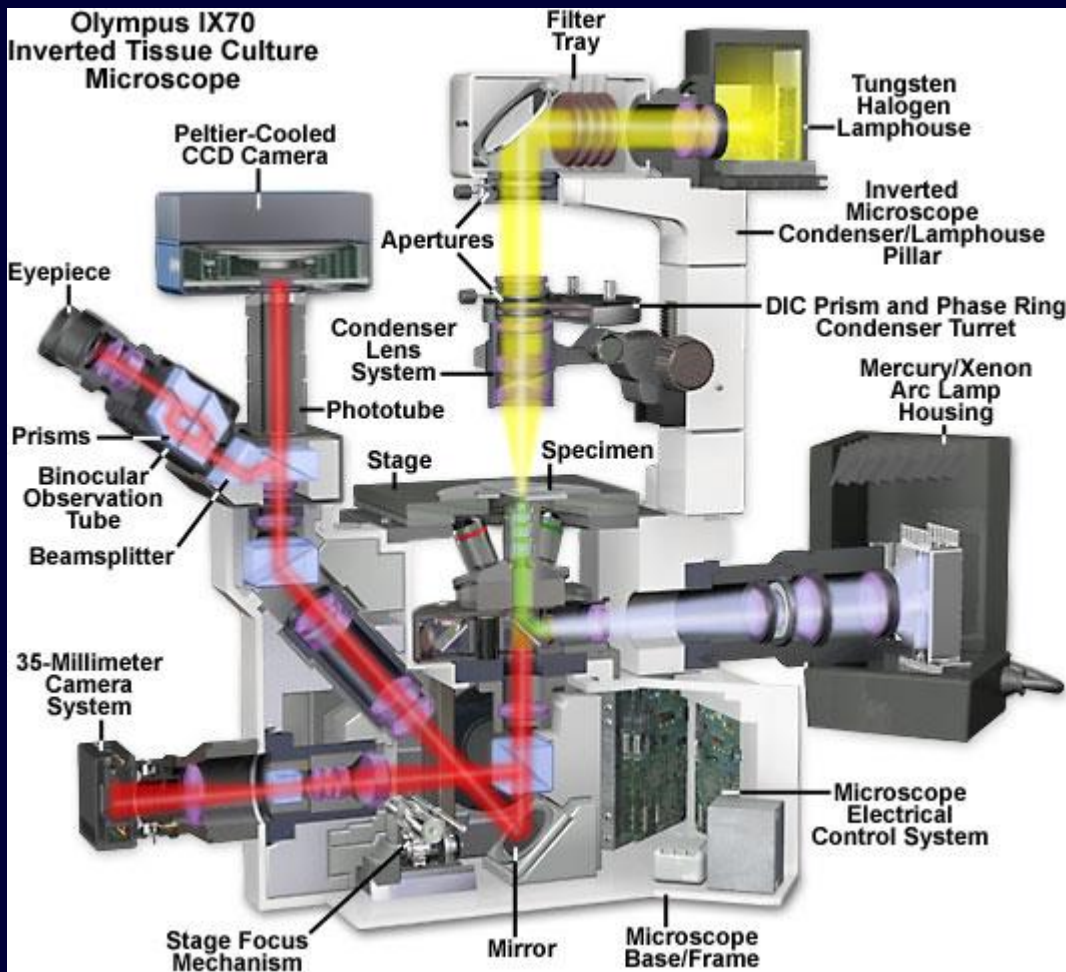
ILUMINÁTOR

- zdroj světla
- kostky
- clony, filtry



Invertovaný fluorescenční mikroskop

- práce s vysokým vzorkem (kultivační nádoby)



Fluorescenční nástavec (iluminátor)

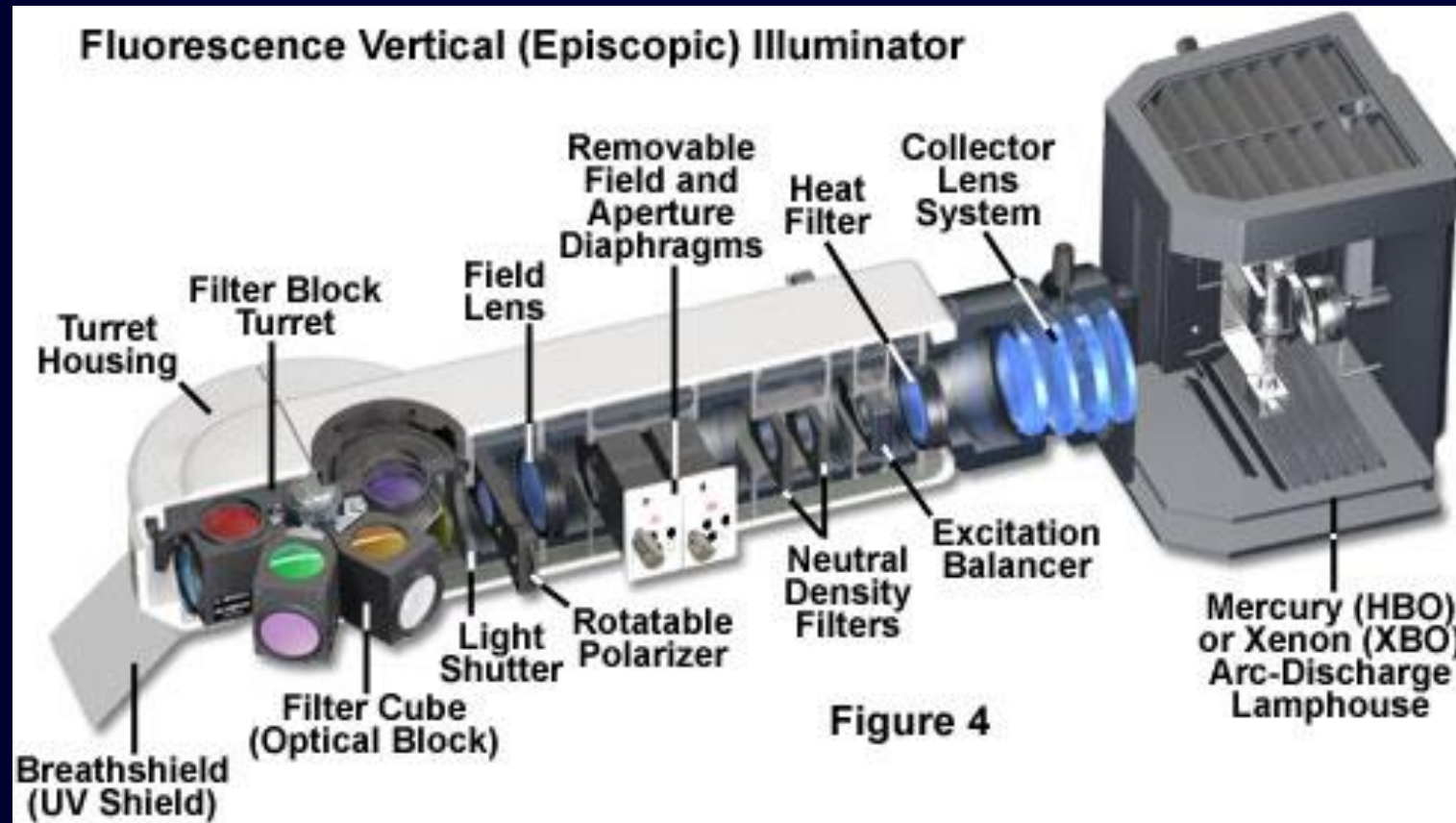


Figure 4

Köhlerovo osvětlení pro odražené světlo (1893-4)

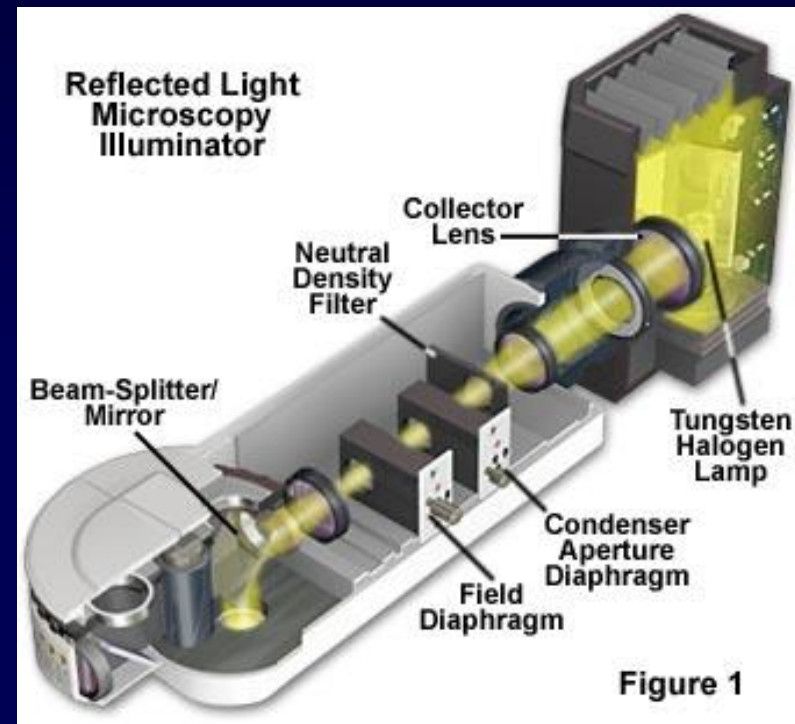
- uspořádání optické soustavy pro ideální osvětlení
- výsledek: světlo vyplní celý otvor objektivu

a) maximální osvětlení

zvýšení intenzity díky kolektorové čočce, zdroj světla blízko ohniska čočky

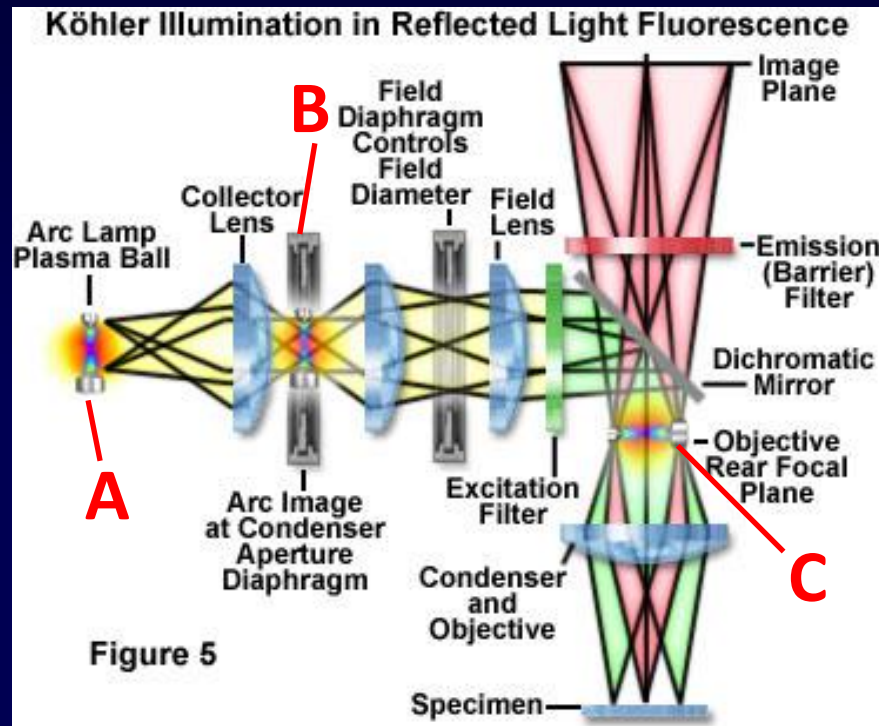
b) stejnoměrné osvětlení

filtry k redukci „hot-spots“
(místa s nadměrnou intenzitou)
nebo difuzní filtr



Osvětlení

- osvětlení je tvořeno 3 konjugovanými (stejně zaostřenými) rovinami
 - A) rovinou zdroje světla
 - B) rovinou aperturní clony fluorescenčního iluminátoru
 - C) zadní ohniskovou rovinou objektivu
- vypadává přítomnost kondenzoru
- osvětlení přichází z objektivu a je jím také odváděno
- intenzita a kontrast osvětlení jsou regulovaly jen aperturní clonou
- nemění se tím velikost osvětleného pole



Zobrazení

- zobrazení je tvořeno 3 konjugovanými rovinami
 - A) rovinou polní clony
 - B) rovinou zobrazovaného objektu
 - C) střední rovinou obrazu
- obraz zdroje světla je mimo rovinu zaostření->stejnoměrné osvětlení
- polní clona reguluje změnu velikosti osvětlení pole
- nemění se tím intenzita osvětlení
- nastavení co nejmenší, aby nebyla vidět (x photobleaching)

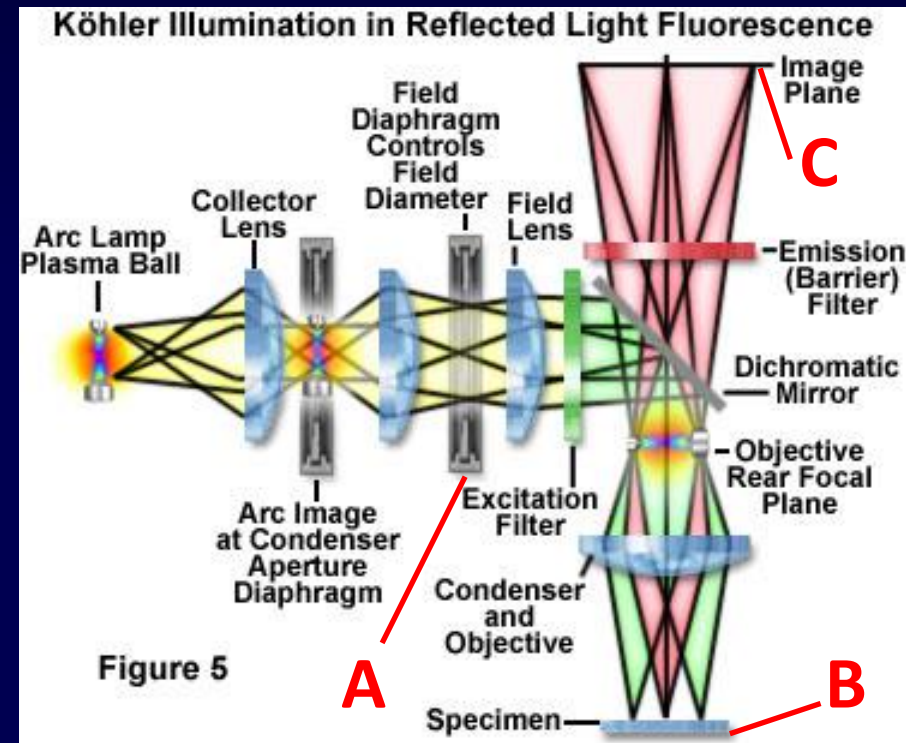


Figure 5

Objektivy pro fluorescenční mikroskopii

intenzita fluorescence (jas)

- počet fotonů na jednotku plochy za čas
- u FM snímajících odražené světlo (z preparátu), závisí na numerické apertuře objektivu (NA) a zvětšení (M)
- Intenzita $\sim NA^4/M^2$

použití objektivů

- plan-fluoritových a plan-apochromatických objektivů
- NA = 1,3-1,4 pro olejovou imerzi
- musí propouštět UV a VIS světlo
- sklo musí mít minimální autofluoresenci
- antireflexní vrstvy

Typy objektivů

- **Achromáty** - jednoduché, složené ze 2 až 6 čoček; je u nich korigovaná chromatická vada, červená a modrá je zaostřena stejně
- **Apochromáty** - korekce barevné vady pro tři základní barvy spektra, vyšší numerická apertura a lepší rozlišení detailů
- **Planachromáty** - barevně korigovány jako achromáty a korigováno i vyklenutí zorného pole (mikrofotografie)
- **Planapochromáty** - zcela odstraněno vyklenutí zorného pole i chromatická vada, patří k nejlepším a nejdražším objektivům
- **Fluoritové objektivy** - z fluoritového skla (vynikající optické vlastnosti), dobře propouští UV záření, vhodné pro fluorescenci, ale i pro pozorování ve světlém poli

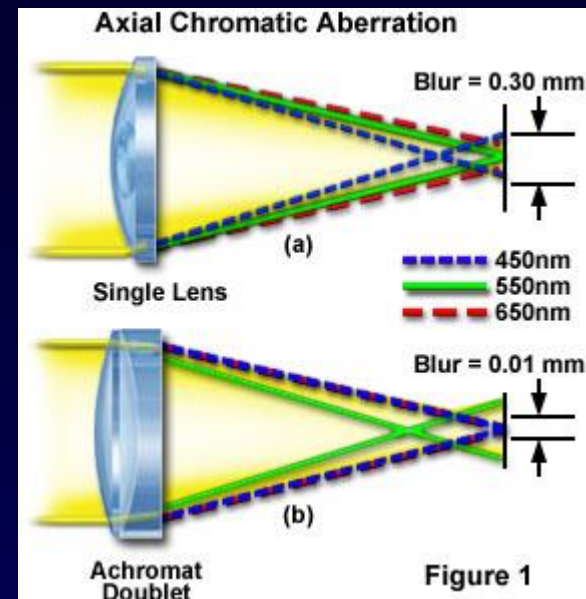


Figure 1

Numerická apertura

$$NA = n \cdot \sin \mu \quad (NA = n \cdot \sin \alpha/2)$$

n - index lomu prostředí

μ - polovina tzv. otvorového úhlu

vzduch

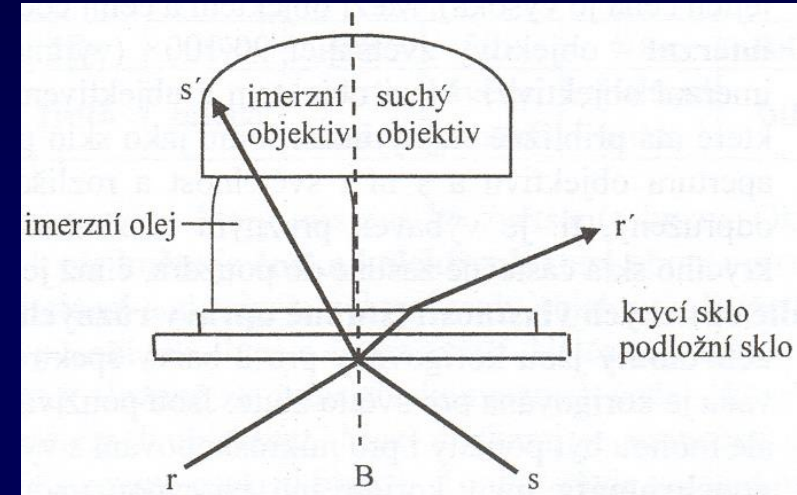
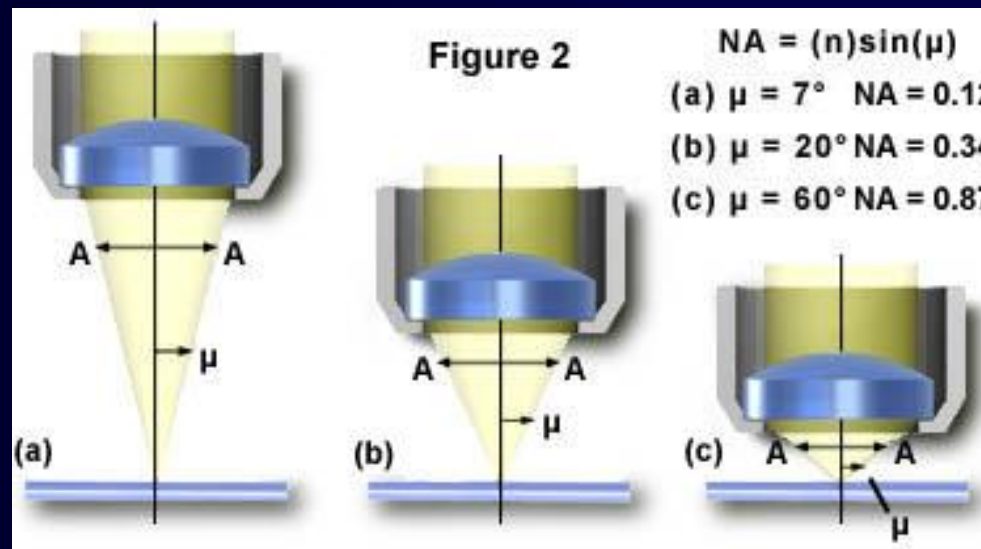
(n = 1)

voda

(n = 1.33)

imerzní olej

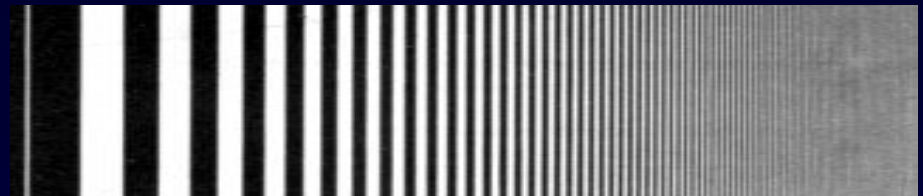
(n = 1.51)



Změna indexu lomu prostředí

<http://olympus.magnet.fsu.edu/primer/java/microscopy/immersion/index.html>

Rozlišovací schopnost



- nejmenší vzdálenost dvou bodů, které ještě vnímáme jako oddělené

$$R = \lambda / 2NA$$

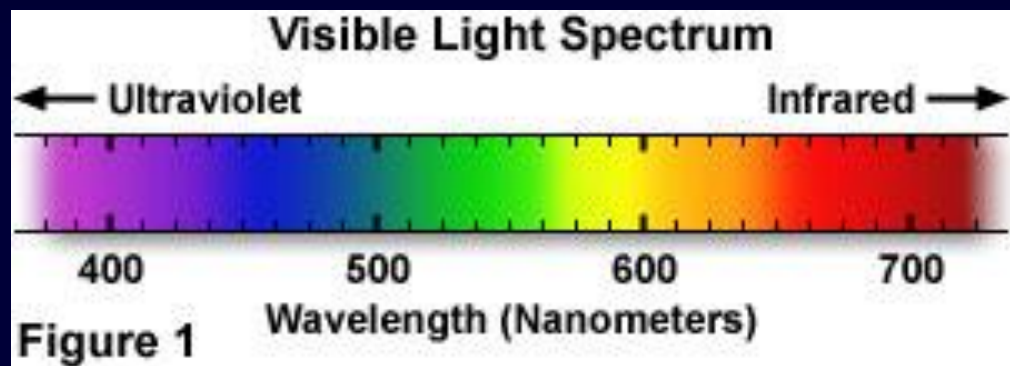
$$NA = n \cdot \sin \mu$$

| OBJECTIVE TYPE | | | | | | |
|----------------|---------------|-----------------|---------------|-----------------|-----------------|-----------------|
| | Plan Achromat | | Plan Fluorite | | Plan Apochromat | |
| Magnification | N.A. | Resolution (μm) | N.A. | Resolution (μm) | N.A. | Resolution (μm) |
| 4x | 0.10 | 2.75 | 0.13 | 2.12 | 0.20 | 1.375 |
| 10x | 0.25 | 1.10 | 0.30 | 0.92 | 0.45 | 0.61 |
| 20x | 0.40 | 0.69 | 0.50 | 0.55 | 0.75 | 0.37 |
| 40x | 0.65 | 0.42 | 0.75 | 0.37 | 0.95 | 0.29 |
| 60x | 0.75 | 0.37 | 0.85 | 0.32 | 0.95 | 0.29 |
| 100x | 1.25 | 0.22 | 1.30 | 0.21 | 1.40 | 0.20 |

N.A. = Numerical Aperture

pro 550nm - zelená

Zdroje světla pro fluorescenční mikroskop



| Wavelength Range (nanometers) | Perceived Color |
|-------------------------------|----------------------------------|
| 340-400 | Near Ultraviolet (UV; Invisible) |
| 400-430 | Violet |
| 430-500 | Blue |
| 500-570 | Green |
| 570-620 | Yellow to Orange |
| 620-670 | Bright Red |
| 670-750 | Dark Red |
| Over 750 | Near Infrared (IR; Invisible) |

Zdroje světla pro světelný mikroskop

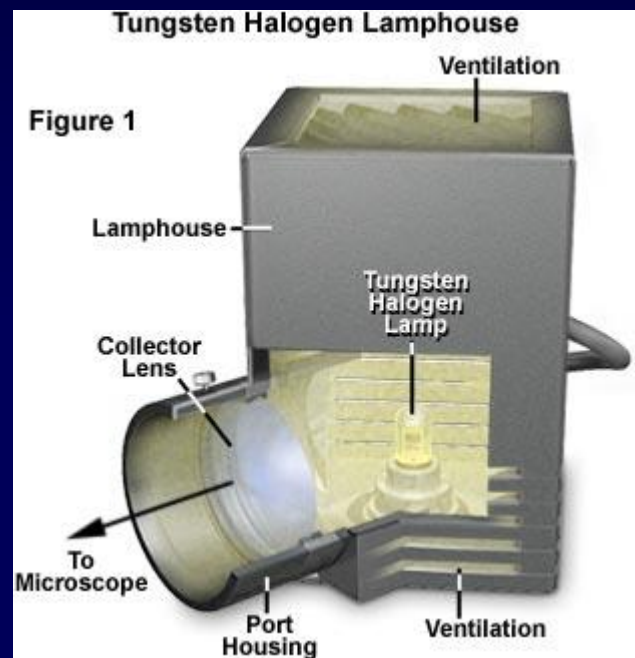
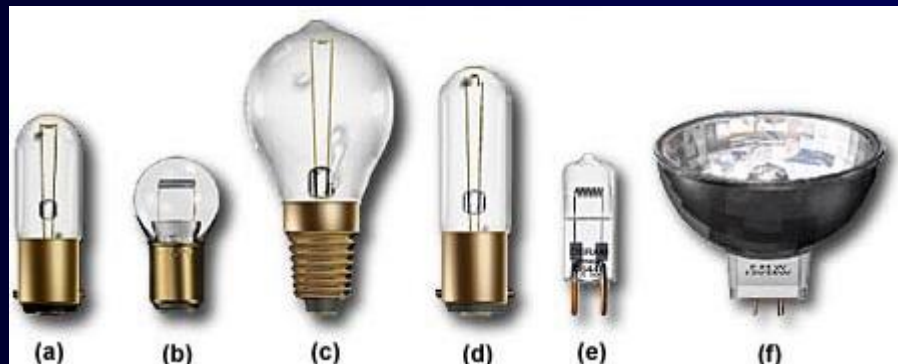
žárovky - el. proud rozžaví vlákno

wolframová žárovka

- 300-1400nm
- W vlákno ve vakuu nebo inertní atmosféře (Kr, Xe)
- na světlo se spotřebuje 5-10% energie (zbytek na teplo)
- vysoká teplota vlákna (až 2500°C při 100W)
- s časem klesá intenzita světla, černání

wolframovo-halogenové žárovky

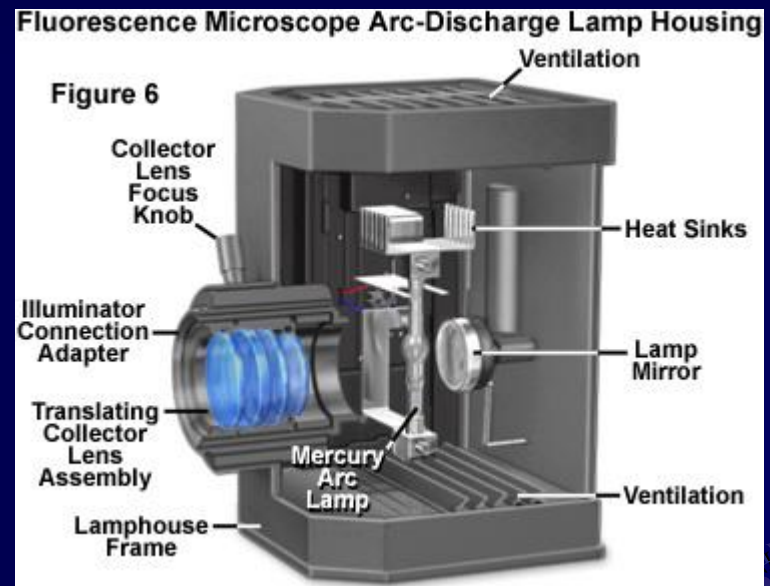
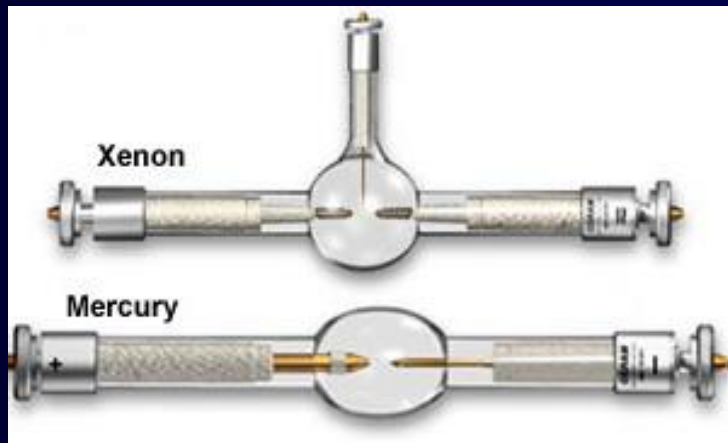
- v ochranné atmosféře přítomnost jódu nebo bromu
- vlákno má delší životnost



Zdroje světla pro fluorescenční mikroskop

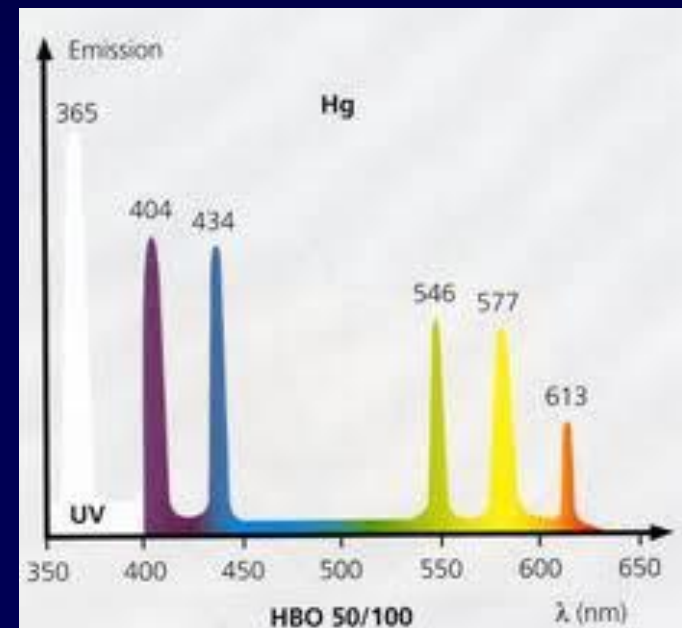
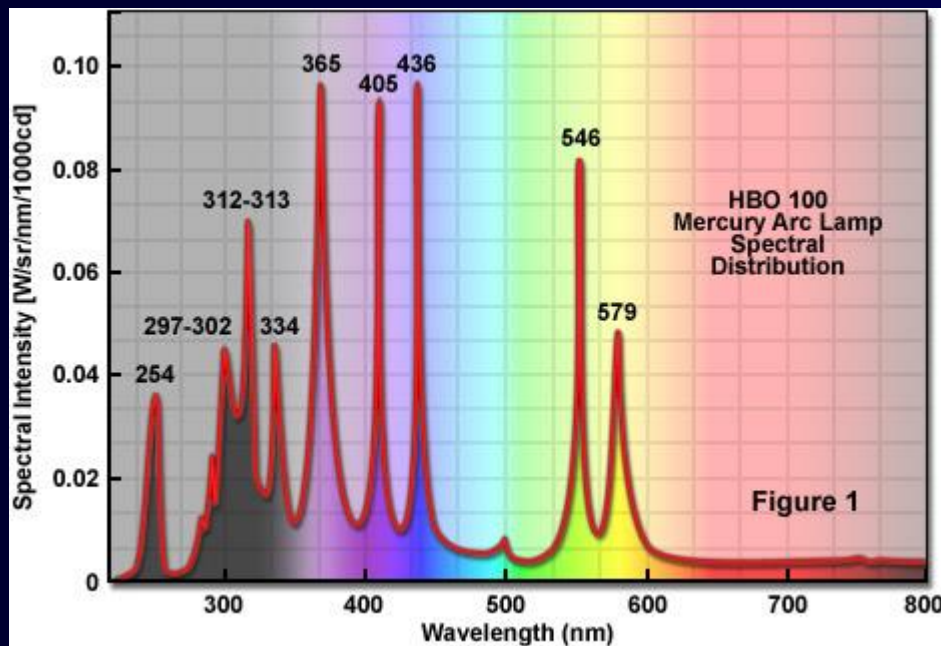
výbojky

- naplněná plynem pod vysokým tlakem (xenon, páry rtuti)
- obsahuje elektrody
- světlo vzniká ionizací plynu mezi elektrodami
- 10x-100x jasnější než žárovky
- připojeno počítadlo hodin



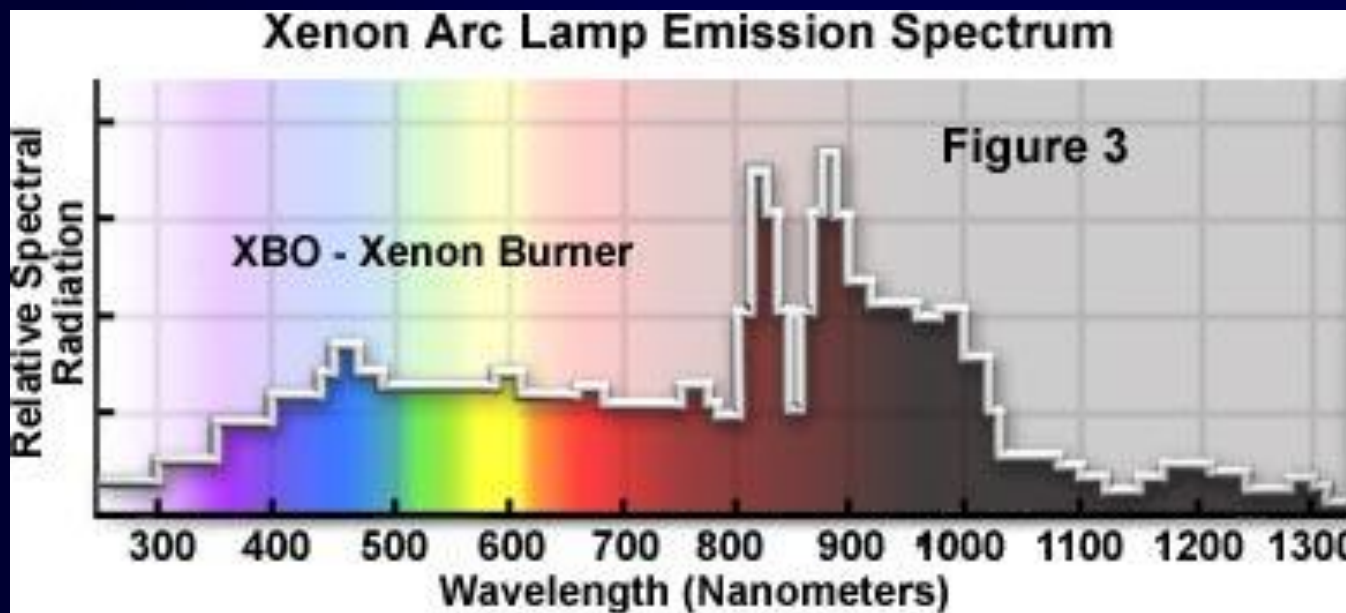
Rtuťová výbojka (HBO)

- obsahuje rtuťové páry
- neposkytuje souvislé spektrum
- emituje v několika úzkých pásmech
- UV, fialová, modrá, zelená, žlutá, oranžová
- životnost 200-400h



Xenonová výbojka (XBO)

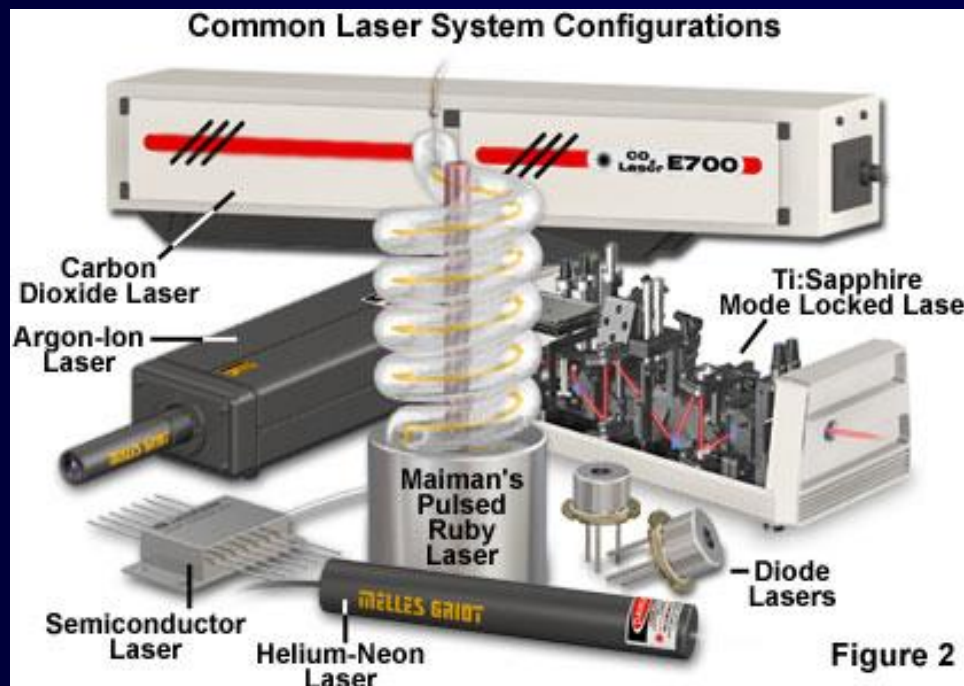
- obsahuje xenon
- stejná intenzita ve viditelném spektru
- v UV nízká emise
- v IR vysoká emise -> přehřívání
- životnost 400-1200h



Zdroje světla pro fluorescenční mikroskop

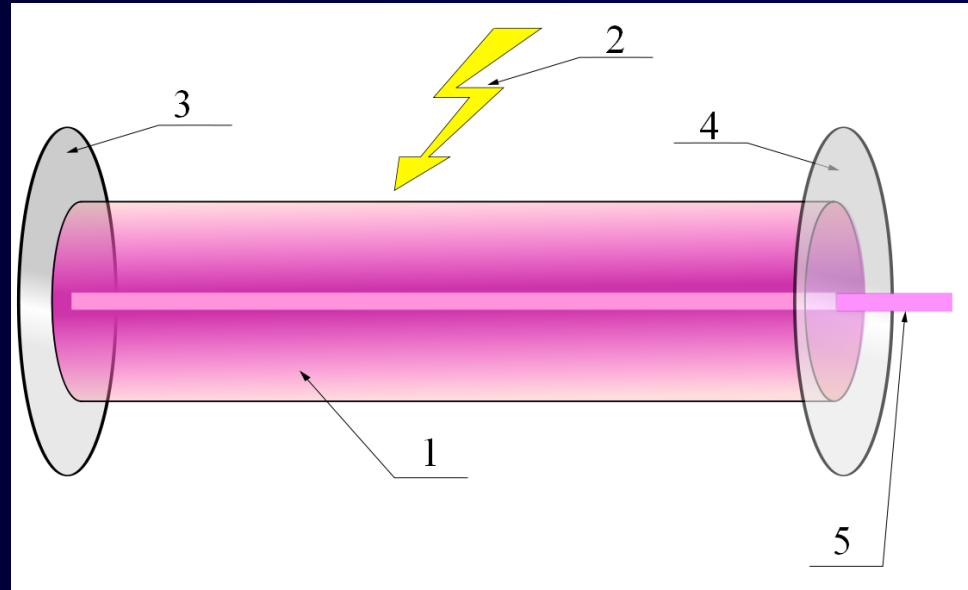
LASER -Light Amplification by the Stimulated Emission of Radiation

- emituje paprsek světla o určité vlnové délce (nebo několika délek)
- světlo je koherentní – má stejnou frekvenci, směr kmitání, fázi
- vlnová délka je specifická v závislosti na typu konstrukce a materiálu



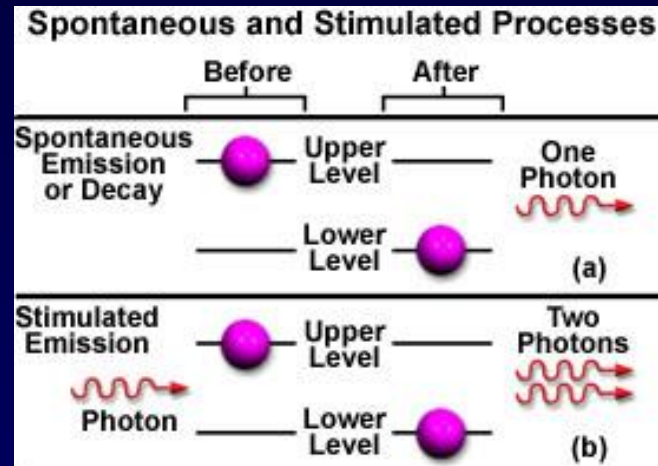
Konstrukce laseru:

1. aktivní prostředí v rezonátoru (různé skupenství-pevné, plyn, kapalina, plazma)
2. zdroj záření (elektrický proud, výbojka, chemické reakce..)
3. odrazené zrcadlo
4. polopropustné zrcadlo
5. laserový paprsek

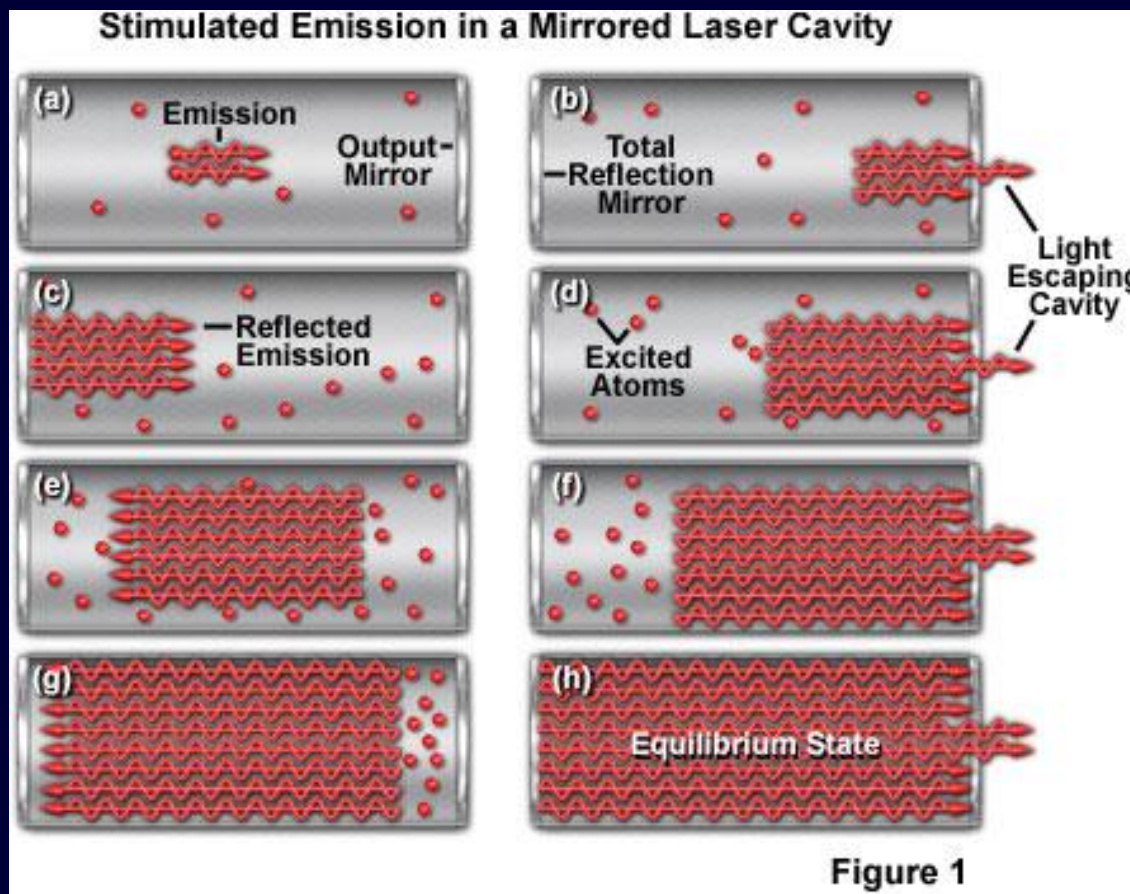


Princip laseru

- zdroj energie vybudí elektrony **aktivního prostředí** ze základní energetické hladiny do vyšší energetické hladiny -> **excitace**
- postupná excitace většiny elektronů aktivního prostředí
- při přestupu elektronu na nižší hladinu dojde k **emisi** fotonů
- fotony interagují s dalšími excitovanými elektrony, spouštějí **stimulovanou emisi** fotonů
- emitované fotony mají stejnou frekvenci a fázi
- mezi zrcadly (v **rezonátoru**) dochází k odrazu paprsku fotonů a jeho opětovnému průchodu prostředím -> zesilování toku fotonů
- paprsek opouští tělo laseru průchodem skrze polopropustné zrcadlo



Stimulovaná emise



<http://olympus.magnet.fsu.edu/primer/java/lasers/heliumneonlaser/index.html>

Nejčastěji používané lasery

využití - konfokální mikroskopie

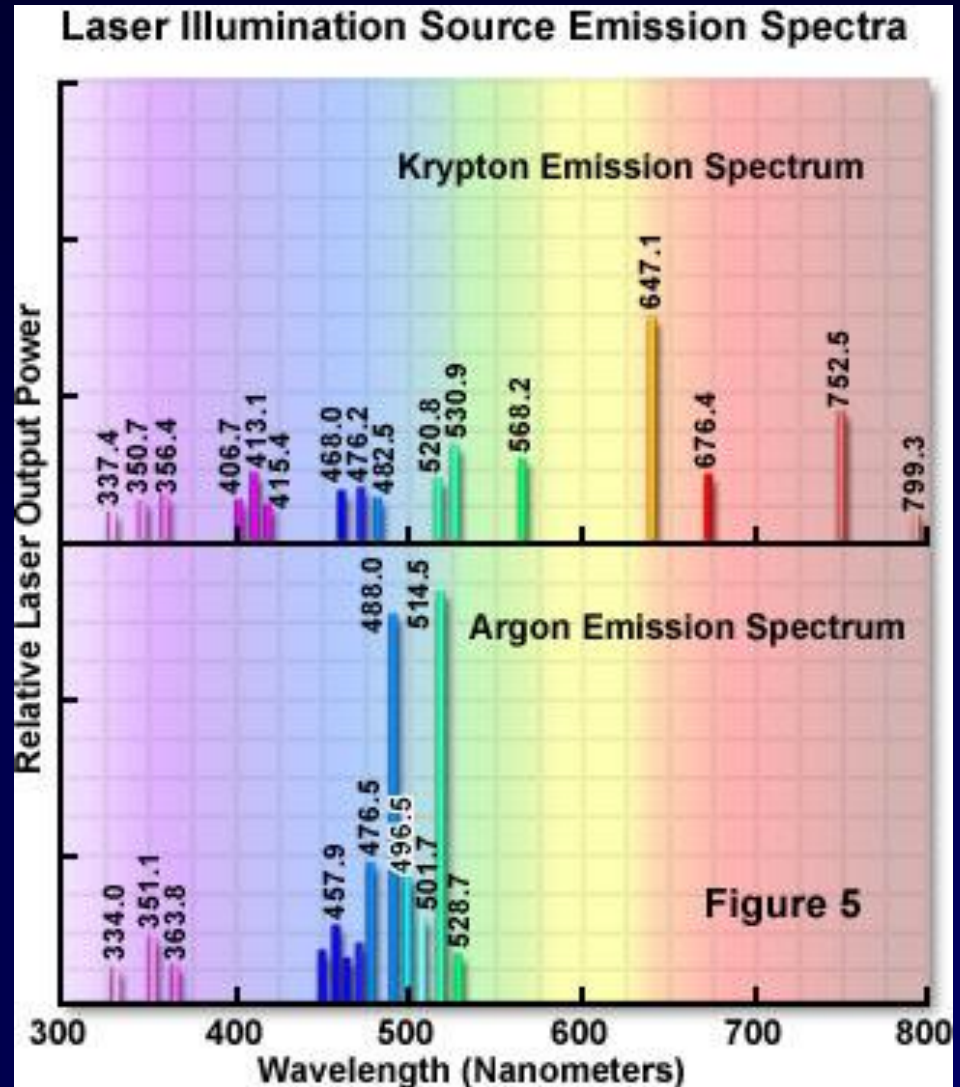
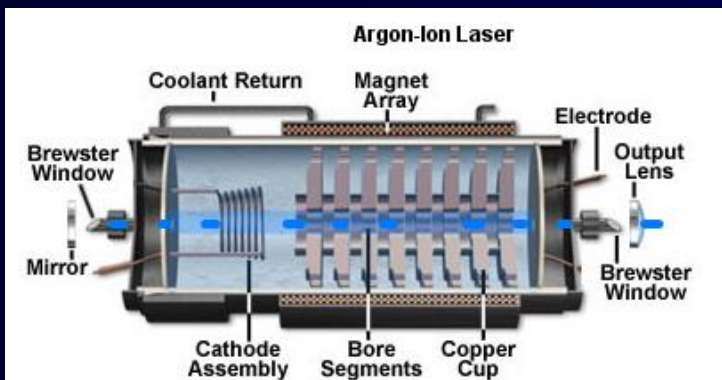
Kryptonový laser

emituje v UV i VIS (647 nm)

Argonový laser

emituje v UV i VIS (488 a 514 nm)

He-Ne, He-Cd ...



Output Wavelengths of Common Lasers

| Laser Type (Spectral Region) | Wavelength(s) (Nanometers) |
|--|--------------------------------|
| Argon Fluoride Excimer (UV) | 193 |
| Krypton Chloride Excimer (UV) | 222 |
| Krypton Fluoride Excimer (UV) | 248 |
| Xenon Chloride Excimer (UV) | 308 |
| Xenon Fluoride Excimer (UV) | 351 |
| Helium Cadmium (UV, Visible) | 325, 442 |
| Nitrogen (UV) | 337 |
| Krypton (Visible) | 476, 528, 568, 647 |
| Argon (Visible) | 488, 514 |
| Copper Vapor (Visible) | 510, 578 |
| Nd:YAG Frequency Doubled (Visible) | 532 |
| Helium Neon (Visible, Near IR) | 543, 594, 612, 633, 1150, 3390 |
| Gold Vapor (Visible) | 628 |
| Rhodamine 6G Dye (Visible, Tunable) | 570-650 |
| Ruby (Visible) | 694 |
| Diode Semiconductor (Visible, Near IR) | 630-1600 |
| Ti:Sapphire (Visible - Near IR) | 680-1130 |
| Nd:YAG (Near IR) | 1064 |
| Erbium (Near IR) | 1540 |
| Hydrogen Fluoride (Near IR) | 2600-3000 |
| Carbon Dioxide (Far IR) | 9600, 10600 |

Další užívané lasery
ve fluorescenční
mikroskopii

Laser vs. fluorochrom

<http://www.olympusmicro.com/primer/java/excitationefficiency/index.html>

Filtry ve fluorescenční mikroskopii

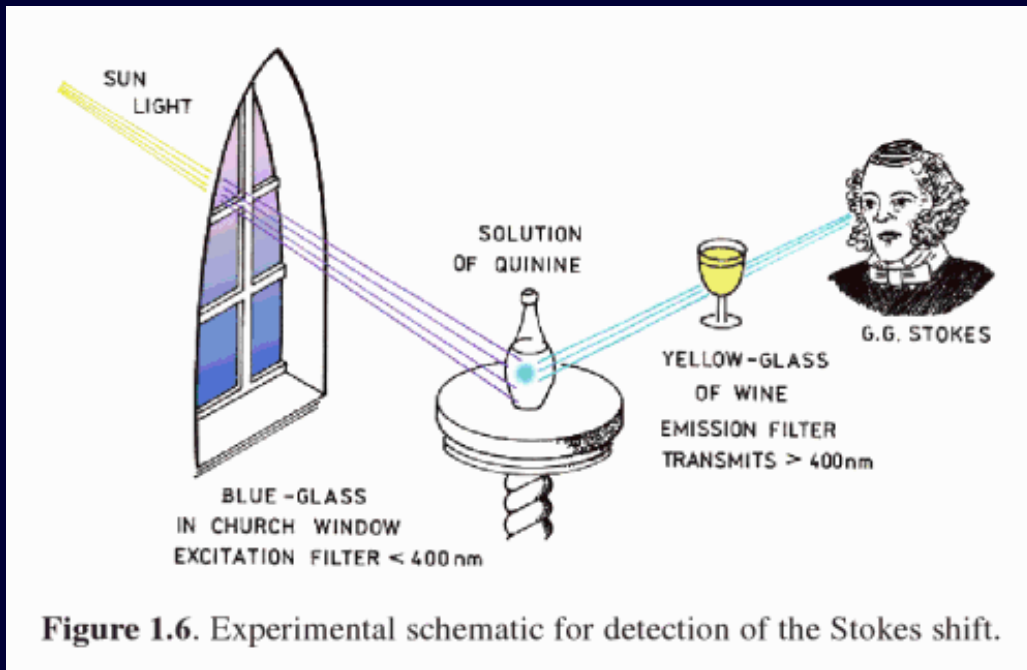


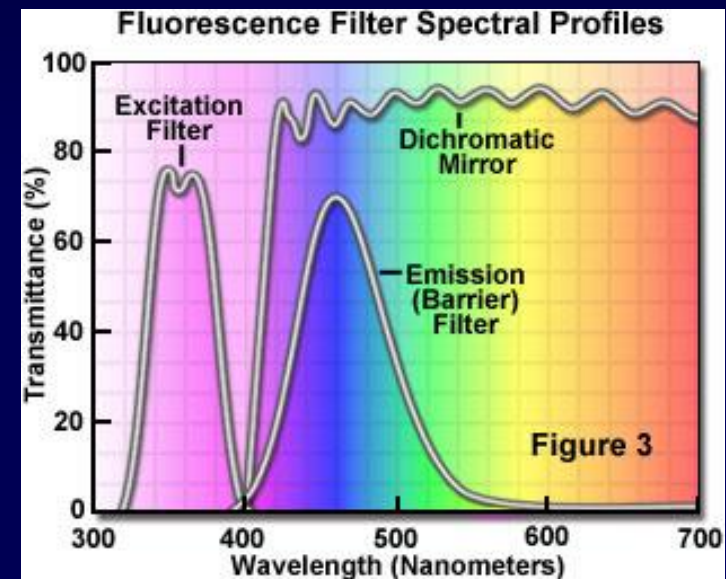
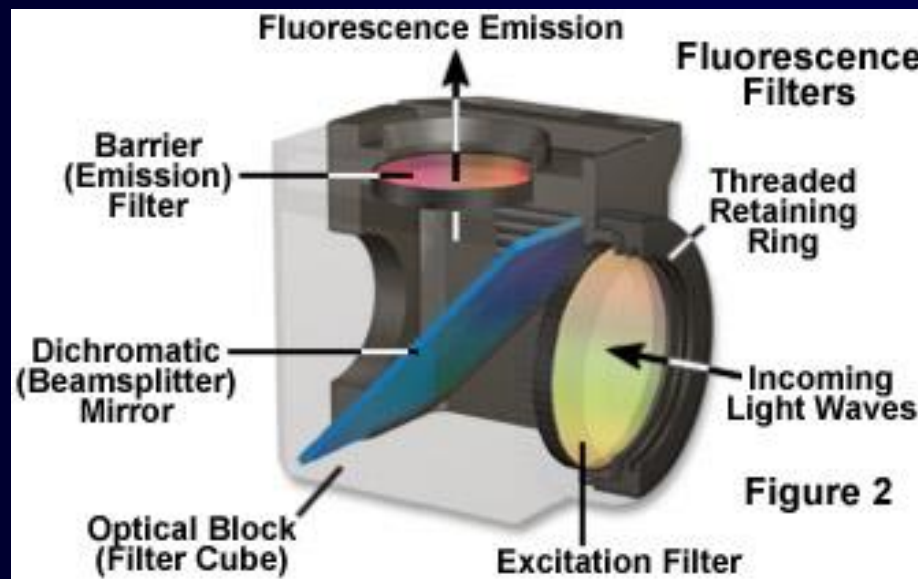
Figure 1.6. Experimental schematic for detection of the Stokes shift.

excitační filtr – propouští takové světlo, které je schopno vyvolat excitaci s následnou emisí u daného fluoroforu

emisní (bariérový) filtr – propouští světlo, které je emitováno fluoroforem

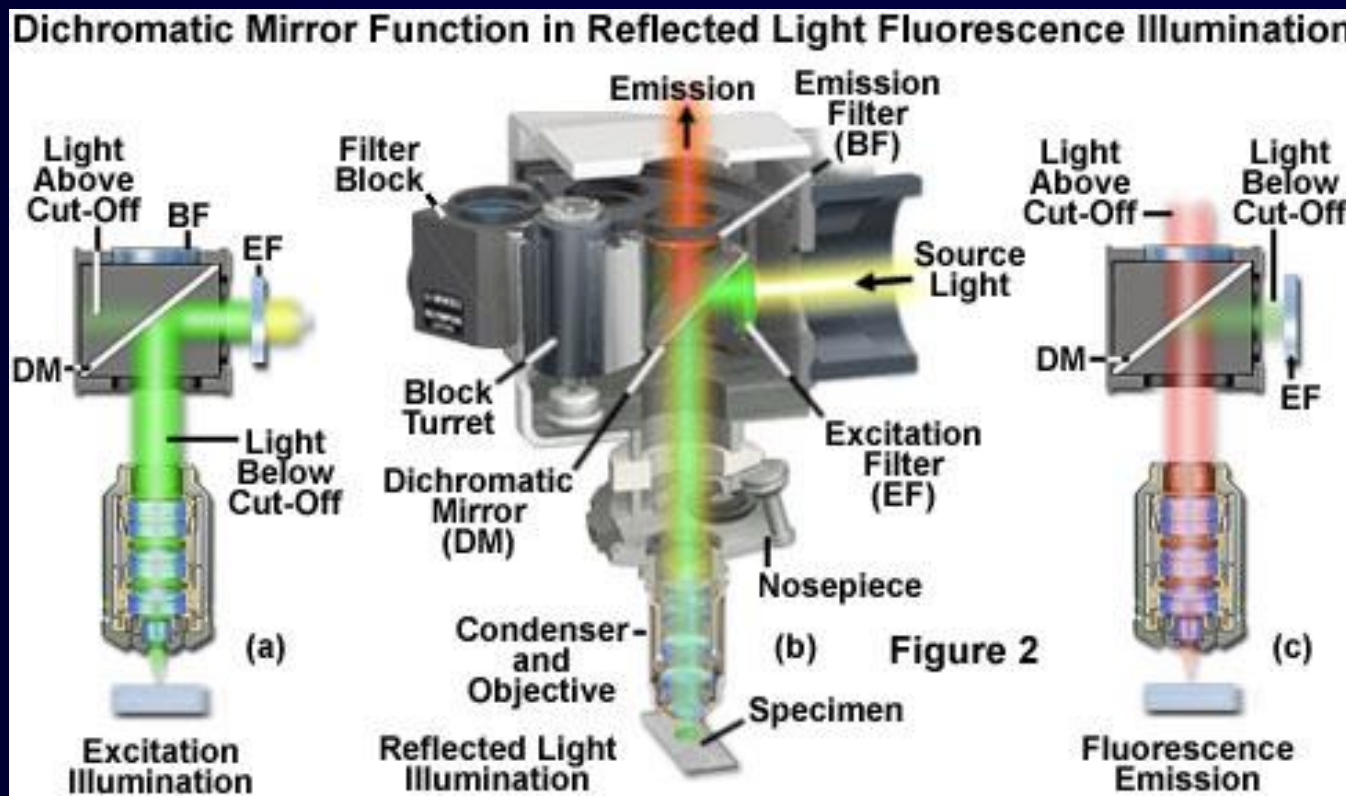
FM obsahuje 3 typy filtrů v optické dráze
uloženy v bloku (kostce) – důležitá orientace

- excitační filtr
- emisní filtr
- dichromatické (dichroické) zrcátko (beamsplitter)



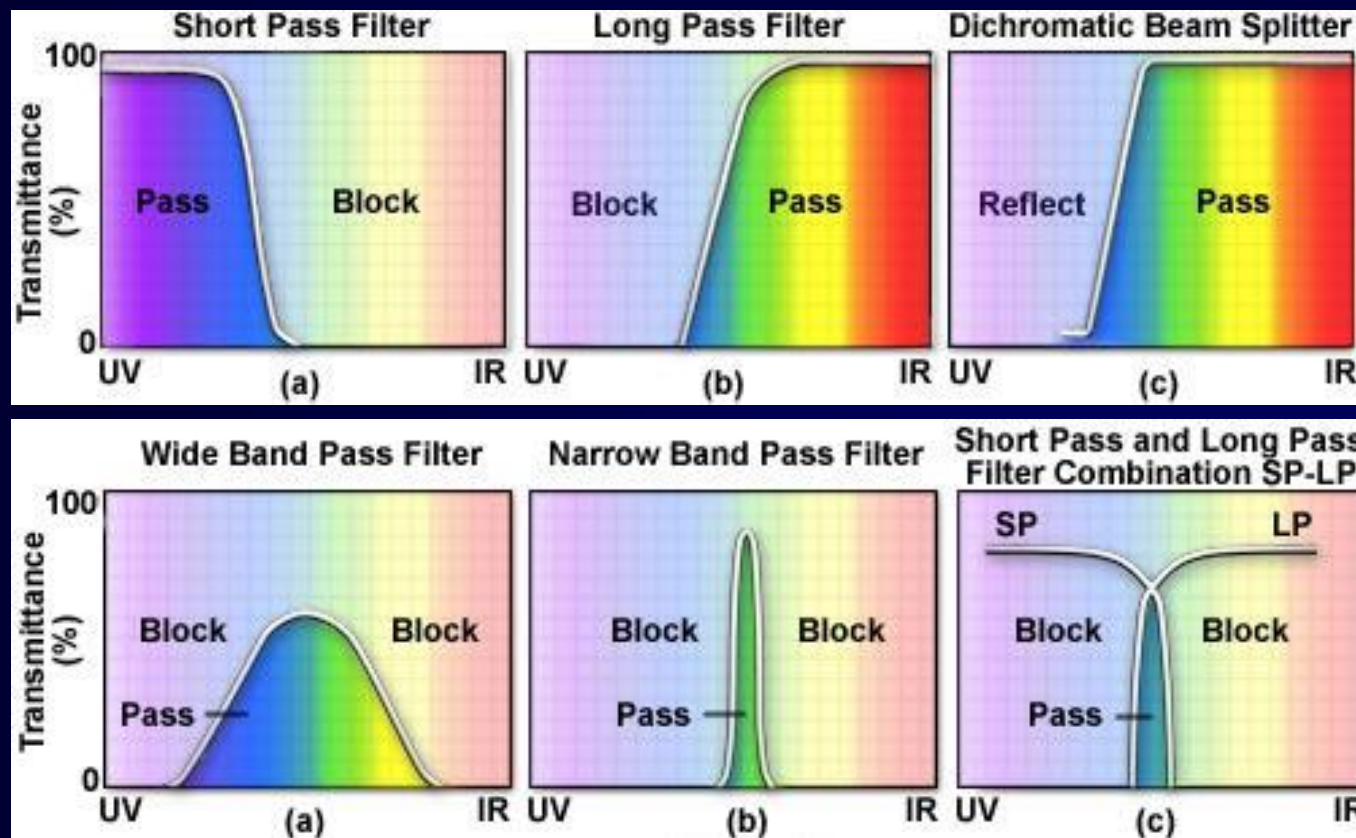
Funkce dichromatického zrcátka

- u mikroskopů s odrazem fluorescence
- odráží excitační záření
- propouští emisní žáření
- sklon 45° k excitačnímu i emisnímu filtru



rozdělení filtrů dle šířky propouštěného spektra

- short pass – propouští kratší vlnové délky než je určitá hodnota
- long pass – propouští delší vlnové délky než je určitá hodnota
- wide band pass – omezen z obou stran spektra
- narrow band pass – omezen na úzké rozmezí vlnové délky



Základní typy kostek - Olympus

| Excitation | Cube | Excitation Filter (nm) | Dichroic Mirror (nm) | Barrier Filter |
|------------|----------|------------------------|----------------------|----------------|
| U | U-MWU | 330-385 | 400 | 420-- |
| U | U-MNU | 360-370 | 400 | 420-- |
| U | U-MNUBP | 360-370 | 400 | 420-460 |
| V | U-MNV | 400-410 | 455 | 455-- |
| BV | U-MWBV | 400-440 | 455 | 475-- |
| BV | U-MNBV | 420-440 | 455 | 475-- |
| B | U-MWB | 450-480 | 500 | 515-- |
| IB | U-MWIB | 460-490 | 505 | 515IF-- |
| IB | U-MNIB | 470-490 | 505 | 515IF-- |
| IB | U-MNIBBP | 470-490 | 505 | 515-550 |
| IB | U-MWIBBP | 460-490 | 505 | 515-550 |
| G | U-MSWG | 480-550 | 570 | 590-- |
| G | U-MWG | 510-550 | 570 | 590-- |
| G | U-MNG | 530-550 | 570 | 590-- |
| IG | U-MNIG | 520-550 | 565 | 580IF-- |
| IY | U-MWIY | 545-580 | 600 | 610IF-- |

| Filter Color Codes | |
|--------------------|---|
| Code | Filter Type |
| U | Ultraviolet |
| V | Violet |
| BV | Blue-Violet |
| B | Blue |
| IB | Interference Blue Filter |
| G | Green |
| IG | Immuno Gold Staining Method |
| BF | Brightfield, Phase Contrast, and DIC only |

Kombinace excitačního a emisního filtru

http://www.olympusmicro.com/primer/java/fluorescence/optical_paths/index.html

Kombinace fluoroforu s blokem

OLYMPUS

<http://olympus.magnet.fsu.edu/primer/java/fluorescence/matchingfilters/index.html>

NIKON

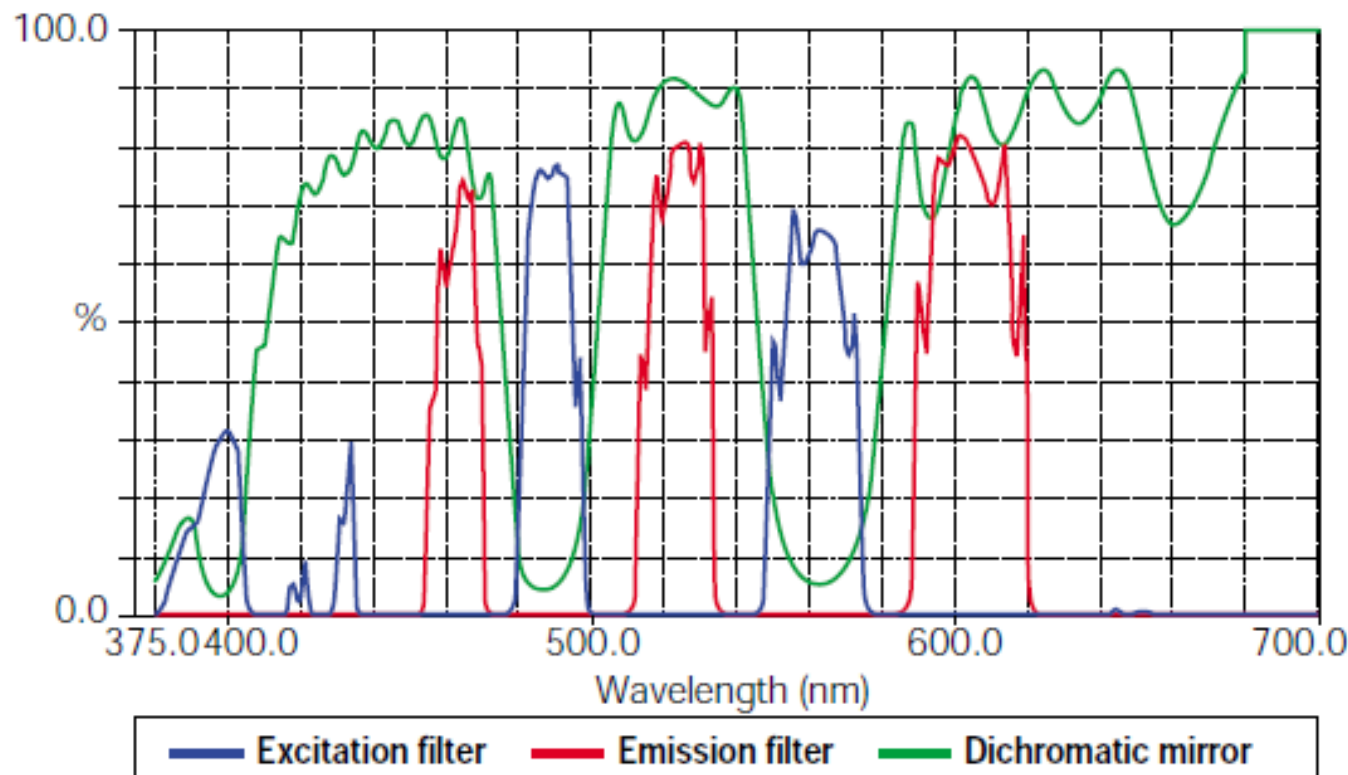
<http://www.microscopyu.com/tutorials/flash/spectralprofiles/index.html>

Filtry pro vícenásobné značení

- double band
- triple band

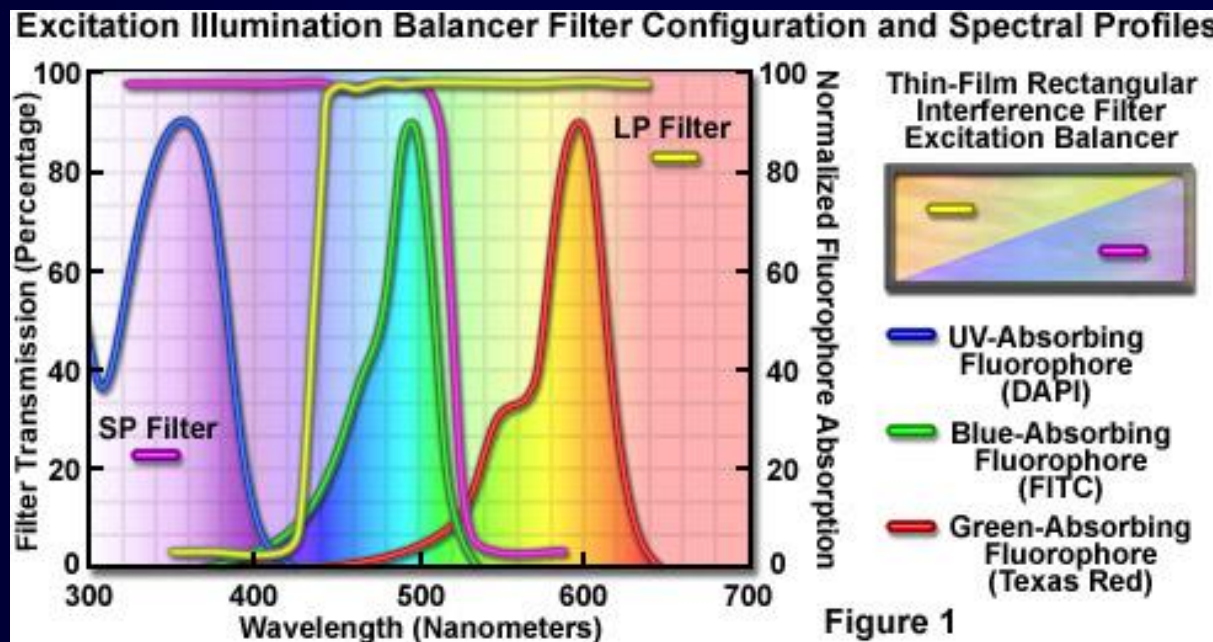
for DAPI/FITC/TRITC

U-DM-DA/Fl/TR2 *3



Excitační balancer

- při použití vícepásmových kostek
- změna intenzity excitačních vlnových délek
- dvojice short pass a long pass filtrů



<http://www.microscopyu.com/tutorials/java/fluorescence/excitationbalancer>

Filtry a zdroje světla pro fluorescenční mikroskopii

http://media.invitrogen.com.edgesuite.net/tutorials/3Light_Sources_Filters/player.html